

شماره مقاله

precious6-
00330018

بهبود راندمان استخراج طلا در نمونه های معدنی به روش الکتروگراویمتری

دکتر محمد علی کریمی، دکتر حسن کریمی، دکتر عبدالحمید هاتفی، حمیدرضا قبادی فومشی*
تهران، دانشگاه پیام نور تهران شرق
*h.g.foumehi@gmail.com

چکیده

طلا در کانسارهای معدنی و قطعات الکترونیکی یافت می شود. برای دستیابی به طلا موجود در کانسارهای معدنی نیازمند اکتشاف معدن، استخراج و فرآوری آن هستیم. هرچقدر که ذرات طلا اندازه کوچکتری داشته باشند و در درون مواد معدنی بیشتر پنهان شده باشند، نیازمند روشی دقیق تر برای شستشو، لیچینگ و اندازه گیری بهتر آن هستیم که در این راستا به تحقیق در مورد بررسی شیوه های کارآمد برای اندازه گیری طلا به روش الکتروگراویمتری با بهینه کردن پارامترهایی مثل غلظت نمک، غلظت اسید کلریدریک، تنظیم pH و کنترل دما پرداخته شد. برای انجام این تحقیق ابتدا مقدار ۰/۲۵۳ گرم از طلا با درصد خلوص ۹۹/۵ را در تیزاب حل کرده و به حجم ۱۰۰ میلی لیتر رسانده تا محلول مادر طلا با غلظت ۲۵۳۰ ppm بدست بیاید. با استفاده از محلول ساخته شده از طلا، محدوده پتانسیل اکسایش و کاهش آن را تعیین کرده که با داشتن این محدوده آزمایش بر روی بهینه کردن پارامترها صورت گرفت. در ادامه با کمک دستگاه میکروسکوپ الکترونی روبشی، طیف سنجی پراش انرژی پرتو ایکس و طیف سنجی جذب اتمی به مطالعه طلا حاصل از نمونه طبیعی از معادن پرداخته شد که منجر به دستیابی طلا با درصد خلوص ۹۸/۶۴ گردید.

کلید واژه ها: طلا، فلزات، سنگ معدن، الکتروگراویمتری

طلا در طول تاریخ همواره مهم ترین فلز گرانبها بوده و به دفعات به عنوان پول و اشیای قیمتی نقش مهمی را ایفا نموده است. با گذر زمان و پیشرفت علم کاربردهای مختلفی از طلا در صنایع نظامی، پزشکی، فضایی، الکترونیک و غیره دیده شده است. ترکیب عناصر گوناگون مثل مس، نقره، نیکل و غیره با عنصر طلا باعث ایجاد رنگ های متنوعی از فلز طلا می شود [۱]. شش عدد اکسیداسیون برای طلا وجود دارد که عدد اکسیداسیون +۱ و +۳ پایدارترین حالت یونی طلا هستند. طلا اغلب به صورت فلز آزاد و آلیاژ مشاهده می شود. فلز طلا به صورت ذرات کوچک تا بزرگ در دل سنگ قرار می گیرد و اغلب همراه با مواد معدنی مانند تلوریم، کالاوریت، کرنریت، نازپازیت، پتزیت، سیلوانیت و مالدونیت یافت می شود. برای دستیابی به این منابع عملی کردن ۳ مرحله اساسی هست که شامل مراحل زیر می باشند:

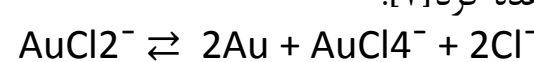
۱. اکتشاف، بر طبق دو تکنیک ژئوشیمی و ژئوفیزیک [۲،۳].
۲. استخراج، شامل معادن روباز و زیرزمینی [۴].
۳. فرآوری، شامل تکنیک های هیدرومتالورژی و پیرومتالورژی [۵،۶].

در ابتدا مقدار ۰/۲۵۳ گرم از طلا با درصد خلوص ۹۹/۵ را به مدت ۵ ساعت با ۲۰ سی سی تیزاب حل کرده و به بالن ۱۰۰ میلی لیتر انتقال داده و به حجم رسانده تا غلظت ۲۵۳۰ ppm از طلا ساخته شود که به عنوان محلول طلا مادر قلمداد می شود. در معادله ۱ می توان واکنش تیزاب با طلا را مشاهده کرد.



معادله ۱:
بعد از انتخاب تیغه ها، با استفاده از دستگاه اتولب بهترین محدوده برای پتانسیل اکسایش و کاهش طلا که در محدوده منفی ۰/۴ تا مثبت ۱/۵ است، انتخاب گردید. در این تحقیق چهار پارامتر تاثیر گذار هستند.

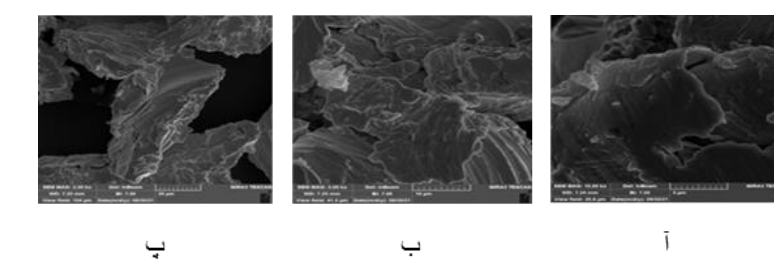
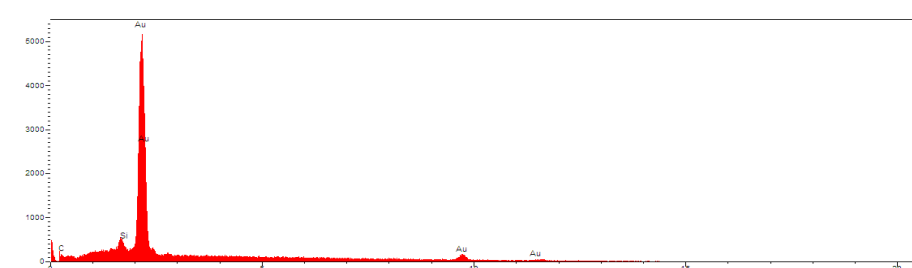
۱. بررسی تنظیم pH با اسید کلریدریک: در این آزمایش غلظت های ۰/۵ مولار تا ۱۰ مولار اسید کلریدریک مورد بررسی قرار گرفت که مناسب ترین محدوده در بازه pH ۰/۶ تا ۱/۳ دیده شد که مربوط به غلظت کمتر از ۱ مولار اسید کلریدریک است.
۲. بررسی اثر غلظت نمک: غلظت های ۰ تا ۳۰ گرم از نمک سدیم کلرید مورد بررسی قرار گرفت که بالاترین میزان استحصال طلا زمانی بدست آمد که غلظت نمک در حدود ۱۰ گرم بود. نکته مهم وجود تسهیم نامتناسب در غلظت ۱۵ گرم از نمک است که باعث کاهش احیا یون طلا +۳ بر روی تیغه کاند و افزایش استحصال یون طلا +۱ بر روی تیغه آند می شود. تسهیم نامتناسب در شرایط خاصی اتفاق می افتد. در معادله ۲ می توان عمل تسهیم نامتناسب را مشاهده کرد [۷].



۳. بررسی اثر دما: در این آزمایش دما از حدود ۵ تا ۵۰ درجه سانتی گراد در مدت زمان ۲ ساعت برای هر بازه تعیین شده، مورد بررسی قرار گرفت. با افزایش دما میزان طلا رسوب کرده روی سطح تیغه کاند به دلیل ریخته شدن ذرات طلا بر کف سل کاهش پیدا کرد. در دما حدود ۵ تا ۱۰ درجه سانتی گراد هیچ ذره ای از تیغه کاند جدا نشد ولی در دما ۴۰ تا ۵۰ درجه سانتی گراد ذرات کلوخه شده طلا در کف سل مشاهده شدند. در آزمایشی دیگر بر پارامتر دما، زمان ۳۰ دقیقه برای آزمایش بر روی دما ۵ تا ۵۰ درجه سانتی گراد در نظر گرفته شد که بالاترین سرعت احیا ذرات طلا بر روی تیغه کاند در دما حدود ۳۰ درجه سانتی گراد صورت گرفت.
۴. بررسی اثر زمان: این آزمایش در دو دما مختلف در مدت زمان ثابت ۲ ساعت آزمایش صورت گرفت. با افزایش زمان، میزان ذرات طلا احیا شده بر روی تیغه کاند افزایش پیدا کرد که این عمل در دما حدود ۲۰ تا ۳۰ درجه سانتی گراد سرعت بیشتری نسبت به دما ۵ درجه سانتی گراد دارد.

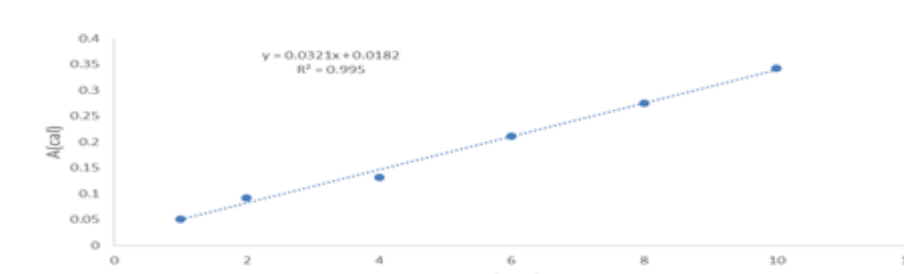
با بدست آوردن بهینه پارامترها، آزمایش بر روی نمونه طبیعی انجام شد که در اینجا برای شستشو، چهار مرتبه از ترکیب آب مقطر و اسید نیتریک استفاده شد و در ادامه، برای لیچینگ [۸] از ترکیب اسید کلریدریک و اسید نیتریک استفاده شد. توجه به اقدام صحیح در فرآیند شستشو و لیچینگ در جواب نهایی حائز اهمیت است. پس از استفاده از کاغذ صافی محلول بدست آمده را با هیتر تبخیر کرده تا رسوب تشکیل شود. رسوب را بر طبق نتیجه پارامترها به حجم ۱۰۰ میلی لیتر رسانده تا با کمک دستگاه اتولب طلا را از محلول جدا کنیم. در نهایت، با کمک تحلیل داده ها از دستگاه میکروسکوپ الکترونی روبشی، طیف سنجی پراش انرژی پرتو ایکس و طیف سنجی جذب اتمی به مطالعه عنصر طلا حاصل از نمونه طبیعی پرداخته شد که منجر به دستیابی طلا با درصد خلوص ۹۸/۶۴ گردید.

۱. طلا با خلوص ۹۹/۹۵٪ - نمونه های طبیعی از پنج معدن ایران
۲. اسید کلریدریک - اسید نیتریک - سدیم کلرید
۳. کاغذ صافی ۹۰ گرمی - دستگاه اتولب (منبع تغذیه)
۴. تهیه نمونه جهت بررسی با طیف سنجی جذب اتمی
۵. تهیه نمونه جهت بررسی با طیف سنج پراش انرژی پرتو ایکس
۶. تهیه نمونه جهت بررسی با میکروسکوپ الکترونی روبشی
۷. تجزیه و تحلیل آماری داده ها



شکل ۲- نشان دهنده عناصر احیا شده بر روی تیغه کاند و جمع آوری شده از کف سل از آزمایش بر روی نمونه معدنی توسط طیف سنج پراش انرژی پرتو ایکس است. عنصر طلا بیشترین مقدار را به خود اختصاص داده و عناصری مثل کربن و سیلیس به مقدار کمی دیده می شوند.

شکل ۱- نشان دهنده تصاویر میکروسکوپ الکترونی روبشی با بزرگنمایی های آ: ۱۰۰۰، ب: ۵۰۰۰ و پ: ۲۰۰۰ است. در تصویر ب، می توان لایه های طلا تشکیل شده در فرآیند احیا بر روی تیغه کاند را مشاهده کرد.



شکل ۳- نشان دهنده نمودار جذب های کالیبراسیون بر حسب غلظت های معلوم برای هر جذب توسط داده های بدست آمده (جدول ۳) از طیف سنجی جذب اتمی است. همچنین، جذب کالیبراسیون نمونه مجهول ۰/۲۰۹ اندازه گیری شد که بر این اساس، غلظت نمونه مجهول ۵/۹ ppm و درصد خلوص نمونه با توجه به وزن ۶۰ میلی گرم نمونه در حجم ۱۰۰ میلی لیتر، ۹۸/۶۴ محاسبه شد.

1. Cretu, Cristian, and Elma Van Der Ling. "Coloured gold alloys." Gold Bulletin 32.4 (1999): 115-126.
2. Kyser, Kurt, John Barr, and Christian Ithenfeld. "Applied geochemistry in mineral exploration and mining." Elements 11.4 (2015): 241-246.
3. Tichauer, Ricardo, et al. "The role of geophysics in enhancing mine planning decision-making in small-scale mining." Royal Society open science 7.7 (2020): 200384.
4. Chen, Jianping, et al. "Open-pit mining geomorphic feature characterisation." International Journal of Applied Earth Observation and Geoinformation 42 (2015): 76-86.
5. Neag, Emilia, et al. "Hydrometallurgical recovery of gold from mining wastes." Strategies of Sustainable Solid Waste Management. IntechOpen, 2020.
6. Hiskey, Brent. "Metallurgy, Survey." Kirk-Othmer Encyclopedia of Chemical Technology (2000).
7. Gammons, Christopher H., Yunmei Yu, and A. E. Williams-Jones. "The disproportionation of gold (I) chloride complexes at 25 to 200 C." Geochimica et Cosmochimica Acta 61.10 (1997): 1971-1983.
8. Neag, Emilia, et al. "Hydrometallurgical recovery of gold from mining wastes." Strategies of Sustainable Solid Waste Management. IntechOpen, 2020.